

## (5) 一般化されたクラックテンソルとその応用

埼玉大学・工学部 小田匡寛

### 1 はじめに

岩盤の力学的挙動は、クラック(断層・節理)、水、初期地圧などを考慮して検討されなければならない。特にクラックの存在は、岩盤の力学的解析を著しく困難にし、まだ連続体の力学で確立された諸原理を岩盤に適用する際、技術者に不安を感じさせ原因ともなっている。本来不連続な岩盤があり合理的な基準をもつて力学的に等価な連続体で近似できたら、技術者の心配は解消されることは違ひない。小田らによるとクラックテンソル  $E^{(m)}$  は、“等価な連続体を定義するための合理的な基準”を提供するため導入されたものであり、次式で定義される。<sup>1), 2)</sup>

$$E^{(m)} = \frac{\pi \rho}{4} \int_0^{\infty} \int_{\Omega} x^m n_i n_j \cdots n_m E(n, x) dx d\Omega \quad (1)$$

$\tau$  = クラックが円板で近似した時の直徑。  $n_i$  = クラックへの単位法線ベクトル。  $\rho$  = 単位体積あたりのクラック数。  $E(n, x)$  =  $n_i$  と  $x$  の分布を特徴づける確率密度関数。  $\Omega$  = 全立体角。  $m$  = 正の整数。

この報告では、節理性岩盤をもつて連続体、多孔質媒体で近似するため的一般的手法を示すと共に、その弾性コンプライアンス、透水テンソルを Eq.(1) の一般化されたクラックテンソルの関数として定式化する。

### 2 クラックのスプリングモデル

岩盤中のクラックは、Fig. 1 に示すように、二つのスプリングで結合された平行板としてしばしばモデル化され、その力学性を特徴づけるせん断剛性、垂直剛性についても室内・現位置での試験から多くの知見が得られていく。<sup>3), 4), 5)</sup> ここでは、クラックをスプリングでモデル化し、材料の弾性コンプライアンスと透水テンソルを、從来から知られており実験事実を引きだげ取り込んだ形で定式化することにする。

せん断剛性率: せん断剛性率は、単位のせん断変位に対するせん断応力として定義される。実験によると、せん断応力～せん断変位の関係は、一部の例外を除く

で非線型(双曲線を近似する)であり、従ってそのせん断剛性も一義的には決められない。ここでは単純化して、最大せん断応力をその時の変位で除いた平均的なせん断剛性率  $G$  (Bartonらによる peak shear stiffness) を用いる。Bartonらは、最大せん断応力を發揮する時のせん断変位は、およそクラックの長さの 1% 程度であるとの観察から、せん断剛性率  $G$  として

$$G = \frac{100}{x} \bar{\sigma}_n \tan \{ JRC \log_{10} \left( \frac{JCS}{\bar{\sigma}_n} \right) + \phi_x \} \quad (2)$$

を提案している。  $\bar{\sigma}_n$  はクラックへの垂直応力を、巨視的応カテンソルを  $\bar{\sigma}_{ij}$  とすれば  $\bar{\sigma}_{ij} n_i n_j$  に等しい。また式中の  $JRC$  と  $JCS$  は、それぞれクラック粗度、強度を示す Barton らの指標である。Eq.(2) は、 $G$  の応力依存性のみならず寸法効果をも表しておりが、そのまま使うには複雑すぎるので、 $\bar{\sigma}_n$  の効果について次式のように線型化しておく。

$$G = \frac{g}{x} \bar{\sigma}_n = \frac{g}{x} \bar{\sigma}_{ij} n_i n_j \quad (3)$$

ここでは実験的に求めべき常数であって、応力と同じ次元を持つている。さらにクラックの方向分布を表す確率密度関数  $E(n)$  を用いて、 $G$  を全方位角(全立体角)で平均化する。

$$\bar{G} = \int_{\Omega} G E(n) d\Omega = \frac{g}{x} \bar{\sigma}_{ij} N_{ij} = \frac{1}{x} g(\underline{\sigma}, \underline{N}) \quad (4)$$

$$\text{ただし, } N_{ij} = \int_{\Omega} n_i n_j E(n) d\Omega; g(\underline{\sigma}, \underline{N}) = g \bar{\sigma}_{ij} N_{ij} \quad (5)$$

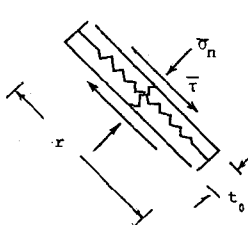


Fig. 1 Spring model for cracks

$N_{ij}$  は、クラックの方向分布によって定まる二階の対称テンソルであり、また  $g(\underline{\sigma}, \underline{N})$  は、二つのテンソル  $\underline{\sigma}$ ,  $\underline{N}$  に依存するスカラーラー量であり、応力の次元を持つ。厳密に云

えば初論せん断剛性率はクラックの方向に依存して変化するが、Eq.(4)では方向について平均化していいと点に注意しなければならない。実岩盤のクラックのせん断剛性率を曖昧さを残さないで推定するには現状では不可能に近いことを考えると、Eq.(4)を採用してある程度の単純化はむしろ自然であろううに思われる。

垂直剛性率: 垂直応力  $\sigma_n$  と閉塞量  $\delta$  の関係は非線型であると共に、閉塞量に限界  $\delta_m$  (可能閉塞量) がある。スプリングモデルでは当然のことながら可能閉塞量  $\delta_m$  は、 $\delta_m = 0$  の時の開口幅  $t_0$  に等しい ( $\delta_m = t_0$ )。閉塞量に限界のある曲線に一つの直線をあてはめて、垂直剛性率を定義するにはひさすか無理があり、ここでは Bandis<sup>1)</sup>らの次の実験式を採用することにする。

$$\bar{\sigma}_n = \frac{\delta}{a - b\delta} \quad (6)$$

割線垂直剛性率  $K$  を  $\bar{\sigma}_n / \delta$  で定義すれば、Eq.(6)から次式を得る。

$$K = \frac{1 + b\bar{\sigma}_n}{a} = \frac{1 + b\bar{\sigma}_{ij} n_i n_j}{a} \quad (7)$$

上式は  $K$  の垂直応力依存性を表している。 $\bar{\sigma}_n = 0$  の時の  $K$  を  $K_0$  と書けば、 $a = 1/K_0$ ,  $b = 1/(t_0 K_0)$  であることは容易に確かめられる。クラックの直径  $r$  が大きくなれば、その開口幅  $t_0$  (従って可能閉塞量) も比例して大きくなると考えられる。今比例定数を  $C$  として

$$r = C t_0 \quad (8)$$

と仮定する。また同時に  $r$ ,  $t_0$  の大きさはクラックは、その表面粗度 (JRC) を増し、結果として初期垂直剛性率  $K_0$  も小さい値を取りであろう。今、Eq.(2)との類推から、 $K_0$  は  $r$  に逆比例するとして、 $K_0 = k/r$  と置くことにする。ただしこれは実験で定めるべき常数で応力の次元を持つことになる。すると Eq.(7) は、

$$K = \frac{1}{r} (k + c \bar{\sigma}_{ij} n_i n_j) \quad (9)$$

と書ける。せん断剛性率と同様、Eq.(9)を方向に関して平均化して、平均垂直剛性率を求める。

$$\bar{K} = \int_{\Omega} K E(\eta) d\Omega = \frac{1}{r} (k + c \bar{\sigma}_{ij} N_{ij}) = \frac{1}{r} k(g, N) \quad (10)$$

ただし  $k(g, N)$  は、応力とクラックの方向分布に依存するスカラー量であり、 $g(g, N)$  と同様応力の次元を

持つことになる。

### 3 スプリングモデルによる等価弾性体

$m^{(j)}$  個のクラックを含む体積  $V$  の岩盤を考える。その基質部外は等方線型弾性体で、またクラックは Eqs.(4), (10) のせん断・垂直剛性率を持つスプリングで近似する。またクラック間の相互干渉は無視できるものと仮定する。巨視的応力  $\bar{\sigma}_{ij}$ , 正張り角  $\bar{\epsilon}_{ij}$  は次式で定義する。

$$\bar{\sigma}_{ij} = \frac{1}{V} \int_V \sigma_{ij} dv; \bar{\epsilon}_{ij} = \frac{1}{V} \int_V \epsilon_{ij} dv \quad (11)$$

巨視的正張り角  $\bar{\epsilon}_{ij}$  は、弹性コンプライアンス  $T_{ijkl}$  を介して巨視的応力  $\bar{\sigma}_{ij}$  に関係づけられる。 $T_{ijkl}$  は、基質部のコンプライアンス  $M_{ijkl}$  とクラック部のコンプライアンス  $C_{ijkl}$  から合成される<sup>2)</sup>。クラック部の体積  $V^{(j)}$  が全体積に占める割合は小さく、また基質部が等方線型弾性体で近似するので、次式を得る。

$$\bar{\epsilon}_{ij} = T_{ijkl} \bar{\sigma}_{kl} = (M_{ijkl} + C_{ijkl}) \bar{\sigma}_{kl} \quad (12)$$

$$M_{ijkl} = \frac{(1+\nu)}{E} \delta_{ik} \delta_{jl} - \frac{\nu}{E} \delta_{ij} \delta_{kl} \quad (13)$$

ただし  $E$ ,  $\nu$  は基質部のヤング率とポアソン比であり、 $\delta_{ij}$  はクロネッカーデルタとする。Eq.(12)を完全なものとするには、 $C_{ijkl}$  を先に定義したせん断・垂直剛性率を用いて定式化すればよい。

この目的のために、単位ベクトル  $j$  の方向に長さ  $x^{(j)}$  の測線  $\bar{ab}$  を走らせる (Fig. 2)。その測線はクラックと  $P_1, P_2, \dots, P_{N^{(j)}}$  の点で交わる。その個数  $N^{(j)}$  は、点と  $j$  に関する密度関数  $E(x, r)$  を用いて

$$N^{(j)} = \frac{\pi \rho x^{(j)}}{2} \int_0^{\infty} r^2 |n_j| E(x, r) dr \quad (14)$$

で推定できる。クラックへの単位法線

ベクトルが点を中心

とする微小立体角

$d\Omega$  に入り、かつその

直徑が  $r$  から  $r+dr$  に

入るクラックを

$(\eta, r)$ -クラックと呼

ぶ。Eq.(14)の  $N^{(j)}$  の

クラックの中の  $(\eta, r)$

クラックの個数  $dN^{(j)}$

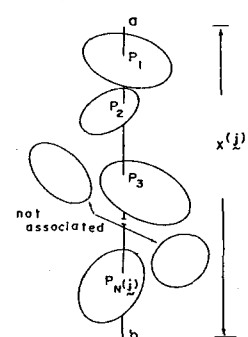


Fig. 2 Scanline parallel to a unit vector  $j$

$$dN^{(j)} = \frac{\pi \rho x^{(j)}}{4} r^2 |n_j| 2E(n, r) d\Omega dr \quad (15)$$

である。 $(n, r)$ -クラックが、巨視的応力  $\sigma_{ij}$  にさらされると、クラックに垂直な方向とクラックに沿う方向に相対的な変位を生じる。クラックに垂直な相対変位は、

$$\delta_i^{(n)} = \frac{1}{K} \bar{\sigma}_{kl} n_i n_{kl} \quad (16)$$

と表わされ、一方クラックに沿う相対変位は、

$$\delta_i^{(s)} = \frac{1}{G} (\bar{\sigma}_{ikl} n_k - \bar{\sigma}_{kln} n_k) \quad (17)$$

と表わせる。ただし  $K, G$  は Eqs. (10), (4) で定義された垂直せん断剛性率である。今  $dN^{(j)}$  個の  $(n, r)$ -クラックが Eqs. (16), (17) の相対変位をもつとすれば、単位ベクトル  $n$  方向の累計の相対変位量は、

$$\sum \delta_i^{(j)} = \frac{\pi x^{(j)}}{4} r^3 \left\{ \left( \frac{1}{K(g, N)} - \frac{1}{G(g, N)} \right) n_i n_j n_k n_l + \frac{1}{g(g, N)} n_j n_l \delta_{ikl} \right\} \bar{\sigma}_{kl} \quad (18)$$

と計算される。ただし  $\delta_i = (\delta_i^{(m)} + \delta_i^{(s)})$  とする。体積  $V$  中に含まれる全てのクラックを考慮するためには、Eq. (18) を  $x$  について 0 から  $\infty$  まで、また方向について全立體角立と積分すればよい。すると、

$$\frac{\sum \delta_i^{(j)}}{x^{(j)}} = \left( \left( \frac{1}{K(g, N)} - \frac{1}{G(g, N)} \right) F_{ijkl}^{(3)} + \frac{1}{g(g, N)} \delta_{ikl} F_{jl}^{(3)} \right) \bar{\sigma}_{kl} \quad (19)$$

を得る。ただし、 $F_{ij}^{(3)}, F_{ijkl}^{(3)}$  は、それぞれ Eq. (1) で示す二階、四階のクラックテンソルである。

クラックの相対変位が及ぼす全歪成形への寄与は、

$$\bar{e}_{ij}^{(c)} = \frac{1}{2} \left( \frac{\sum \delta_i^{(j)}}{x^{(j)}} + \frac{\sum \delta_j^{(i)}}{x^{(i)}} \right) \quad (20)$$

と評価できる。弾性コンプライアンス  $C_{ijkl}$  の満足すべき対称性

$$C_{ijkl} = C_{jikl} = C_{ijlk} = C_{klij} \quad (21)$$

を考慮して、Eq. (19) と Eq. (20) に用いれば、 $C_{ijkl}$  と  $C_{ijlk}$  の式を得る。

$$C_{ijkl} = \left\{ \left( \frac{1}{K(g, N)} - \frac{1}{G(g, N)} \right) F_{ijkl}^{(3)} + \frac{1}{4g(g, N)} (\delta_{ik} F_{jl}^{(3)} + \delta_{jk} F_{il}^{(3)} + \delta_{jl} F_{ik}^{(3)} + \delta_{il} F_{jk}^{(3)}) \right\} \quad (22)$$

今  $k(g, N) = g(g, N)$  を仮定すれば、Eq. (22) は二階のクラックテンソル  $F_{ij}^{(3)}$  を含むものに簡略化される。クラックを開口した penny-shaped クラックを近似して、クラックの影響を弾塑性学的に評価すると、 $C_{ijkl}$  は

$$C_{ijkl} = \frac{1}{4D} (\delta_{ik} F_{jl}^{(3)} + \delta_{jk} F_{il}^{(3)} + \delta_{jl} F_{ik}^{(3)} + \delta_{il} F_{jk}^{(3)}) \quad (23)$$

$$1/D = 8/(3\pi E) \quad (23)$$

と表わせる。<sup>5)</sup> (クラックを挿入した石膏モデルの実験からその適用性についても検討されている。)  $k(g, N) = g(g, N) = D$  が仮定できれば Eq. (22) = Eq. (23) となり、従って Eq. (23) は Eq. (22) の特別な場合であると云える。Baudis らの実験結果を見ると、 $k(g, N) = g(g, N)$  となりむしろ、 $k(g, N) \gg g(g, N)$  となるようである。すると Eq. (22) は、

$$C_{ijkl} = \frac{1}{4g(g, N)} (\delta_{ik} F_{jl}^{(3)} + \delta_{jk} F_{il}^{(3)} + \delta_{jl} F_{ik}^{(3)} + \delta_{il} F_{jk}^{(3)} - 4F_{ijkl}^{(3)}) \quad (24)$$

と簡略化できる。ここで  $g(g, N)$  は、その定義式 (4) からも知られるように一定値ではなく、一般的には応力  $\sigma$  とクラックの方向分布  $N$  に依存する変数であることに注意しなければならない。すなはち全体の応力レベルが高くなると、 $g(g, N)$  も大きくなり、結果として全歪成形クラックの寄与は相対的に減少するはずである。

#### 4 等価多孔質媒体

節理性岩盤をもとと等価な多孔質媒体で近似する一般的な手法についてもすでに報告している<sup>b)</sup>。それによると、節理性岩盤の異方透水テンソル  $\sigma_{ij}$  は次式で表わされる。

$$k_{ij} = \lambda (P_{kk} \delta_{ij} - P_{ij}) \quad (25)$$

ただし  $P_{ij}$  は、

$$P_{ij} = \frac{\pi \rho}{4} \int_0^\infty \int_0^\infty \int_0^\infty r^2 t^3 n_i n_j E(n, r, t) d\Omega dr dt \quad (26)$$

で定義される二階の対称テンソルである。ここに入るのは次元の比倒常数であって、クラックの長さが十分で

クラック相互の連結が保たれていれば、 $1/12$ に等しい。  
Eq.(25)の透水テンソルはFEMによる数値実験との結果をも調和的であることから、節理性岩盤の透水性を支配するクラックの幾何学性はEq.(26)の $P_{ij}$ でその本質をうなげておるものと考えられる。

しかしよく知らぬでいるように、岩盤の透水性は巨視的応力と無関係ではなく、たとえば深所の岩盤を浅所のそれと比較すると、透水性は著しく異なるはずである。クラックへの有効垂直応力 $\bar{\sigma}_{ij}'$ の増加によつて、クラックの厚さ $t$ は $\bar{\sigma}_{in}=0$ 時の $t_0$ から減少して、最終的には $t=0$ へと収めんす。すなはちEq.(26)における $t$ は、巨視的有効応力 $\bar{\sigma}_{ij}'$ の関数であると理解されなければならぬ。Eq.(10)を用ひれば、巨視的有効応力 $\bar{\sigma}_{ij}'$ の場合に置かれたクラックの厚さ $t$ は、

$$t = t_0 - \frac{\bar{\sigma}_{in}'}{k} = r(\frac{1}{c} - \frac{1}{k(g, N)} \bar{\sigma}_{ij}' n_i n_j) \quad (27)$$

と書ける。従つ、2つの三乗因子、

$$\begin{aligned} t^3 &= r^3 (\frac{1}{c^3} - \frac{3/c^2}{k(g, N)} \bar{\sigma}_{ij}' n_i n_j + \frac{3/c}{k^2(g, N)} \bar{\sigma}_{ij}' \bar{\sigma}_{kl}' n_i n_j n_k n_l \\ &\quad - \frac{1}{k^3(g, N)} \bar{\sigma}_{ij}' \bar{\sigma}_{kl}' \bar{\sigma}_{mn}' n_i n_j n_k n_l n_m n_n) \end{aligned} \quad (28)$$

となる。Eq.(28)のゼロをEq.(24)の $P_{ij}$ の定義式に用ひれば

$$\begin{aligned} P_{ij} &= \left\{ \frac{1}{c^3} F_{ij}^{(5)} - \frac{3/c^2}{k(g, N)} \bar{\sigma}_{kl}' F_{ijkl}^{(5)} + \frac{3/c}{k^2(g, N)} \bar{\sigma}_{kl}' \bar{\sigma}_{mn}' F_{ijklmn}^{(5)} \right. \\ &\quad \left. - \frac{1}{k^3(g, N)} \bar{\sigma}_{kl}' \bar{\sigma}_{mn}' \bar{\sigma}_{op}' F_{ijklmnop}^{(5)} \right\} \end{aligned} \quad (29)$$

を得る。ただし式中の $F_{ij}^{(5)}$ ,  $F_{ijkl}^{(5)}$ …などは $m=5$ とするEq.(1)の二, 四, …階のテンソルに他ならない。実用上はEq.(29)の右辺オニ項までを残り、 $P_{ij}$ を

$$P_{ij} = \frac{1}{c} \left\{ F_{ij}^{(5)} - \frac{c}{k(g, N)} \bar{\sigma}_{kl}' F_{ijkl}^{(5)} \right\} \quad (30)$$

と表わしあらかじめあらう。巨視的有効応力が大きくなれば、同一のクラックパターンであつても、異なる透水テンソルに導かれむ。またたゞえクラックテンソル $E^{(5)}$ が等方であつても、 $P_{ij}$ はかならずしも等方とならず、その結果異方透水性を示すこともあり得ることに注意しなければならない。

Eqs.(29), (30)における巨視的有効応力をどのように取るべきかは、岩盤力学の根幹にかかる重要な問題である<sup>8)</sup>。しかしこれは、クラックが十角に連結された場合に限定するにとどつて、巨視的有効応

力を次式で定義しておく。

$$\bar{\sigma}_{ij}' = \bar{\sigma}_{ij} - \bar{u} \delta_{ij}; \bar{u} = \frac{1}{V(c)} \int_V(c) u \, dv \quad (31)$$

ただし $V(c)$ はクラックの間隙体積で、 $u$ はクラックの局所的な間隙水圧である。

## 5 一般化されたクラックテンソルの決定法

クラックテンソルを用いて節理性岩盤はそれを力学的に等価な連続体、多孔質媒体へと変換できることを示した。残る問題は、実岩盤におけり一般化されたクラックテンソルを決定することである。これについてには、小田らの論文<sup>9)</sup>で実例をあげて詳しく論じられておりるので、ここではその概要を述べるために止めよう。

Eq.(1)の一般化されたクラックテンソルは、次の二つの量が与えられれば計算できる。

1) クラックの方向分布の密度関数 $E(c)$ : 従来の地質調査では、クラックへの法線方向は Schmidt ネット上に投影して示されるが、表現方法を若干変更することによって目的は達成される。

2) クラックと崖面(掘削面)との交線長さと、単位長さの測線と交わるクラックの数。

上記諸量はいざれも普通の岩盤調査により容易に決定でき、特別な調査は必要としない点を強調しておきたい。

## 参考文献

- 1) Oda,M.(1984): Mechanics of Materials 3, 119-129.
- 2) Oda,M., Suzuki,K. and Maeshiba,T.(1984): Soils and Foundations 24(3), 27-40.
- 3) Goodman,R.E.(1974): Proc. 3rd Cong. Int. Soc. Rock Mech., Denver, 1(A), 127-140.
- 4) Barton,N.R. and Choubey,V.(1977): Rock Mech. 10, 1-54.
- 5) Bandis,S., et al.(1983): Int. J. Rock Mech. Min. Sci. & Geomech. Abstr. 20, 249-268.
- 6) 小田,前瀬,羽出山,数納(1984): 第6回岩の力学国内シンポジウム論文集, 121-126.
- 7) Long,J.C.S., et al.(1982): Water Resources Research 18(3), 645-658.
- 8) Robin,P.Y.(1973): J.G.R. 78(14), 2434-2437.

(5) GENERALIZED CRACK TENSOR AND ITS APPLICATION TO ROCK MECHANICS

By Masanobu Oda

ABSTRACT

Elastic compliance and permeability tensors for jointed rock masses are formulated in terms of the generalized crack tensor  $\underline{F}^{(m)}$  with the following definition;

$$\underline{F}^{(m)} = \frac{\pi \rho}{4} \int_0^\infty r^m n n \cdots \underline{n} E(\underline{n}, r) d\Omega dr$$

where  $\rho$  = volume density of cracks,

$r$  = size of a crack ( diameter ),

$\underline{n}$  = unit vector normal to a crack,

$E(\underline{n}, r)$  = probability density of cracks,

$\Omega$  = solid angle, and

$m$  = positive integer.

Each crack is treated as a parallel opening connected by two springs whose normal and shear stiffness are determined by taking into account the experimental results by Barton et al. (1972) and Bandis et al. (1983). By means of summing up displacement jumps associated with cracks along a given scanline, the elastic compliance  $C_{ijkl}$  due to the presence of cracks is formulated as

$$C_{ijkl} = \left\{ \left( \frac{1}{k(g, N)} - \frac{1}{g(g, N)} \right) F_{ijkl}^{(3)} + \frac{1}{4g(g, N)} (\delta_{ik} F_{jkl}^{(3)} + \delta_{jk} F_{il}^{(3)} + \delta_{jl} F_{ik}^{(3)} + \delta_{il} F_{jk}^{(3)}) \right\}$$

where  $F_{ij}^{(3)}, F_{ijkl}^{(3)}$  = second and fourth rank crack tensors with  $m=3$ ,

$k(g, N)$  = normal stiffness depending on  $g$  and  $N$ , and

$g(g, N)$  = shear stiffness depending on  $g$  and  $N$ .

Each crack is also treated as a parallel opening with a aperture  $t$  which depends on normal stress acting on it. Adopting the cubic law for laminar flow of fluids through open cracks consisting parallel planar plates, an equivalent permeability tensor  $k_{ij}$  is formulated as follows:

$$k_{ij} = \lambda (P_{kk} \delta_{ij} - P_{ij})$$

$$P_{ij} = \left\{ \frac{1}{c^3} F_{ij}^{(5)} - \frac{3/c^2}{k(g, N)} \bar{\sigma}_{kl} F_{ijkl}^{(5)} + \frac{3/c}{k^2(g, N)} \bar{\sigma}'_{kl} \bar{\sigma}'_{mn} F_{ijklmn}^{(5)} - \frac{1}{k^3(g, N)} \bar{\sigma}'_{kl} \bar{\sigma}'_{mn} \bar{\sigma}'_{op} F_{ijklmnop}^{(5)} \right\}$$

where  $\lambda = 1/12$  when the rock mass is fully disintegrated by many cracks,

$c$  = dimensionless constant,

$\delta_{ij}$  = Kronecker's delta,

$F_{ij}^{(5)}, F_{ijkl}^{(5)}$  = second and fourth rank crack tensors with  $m=5$ , and

$\bar{\sigma}'_{ij}$  = stress tensor.